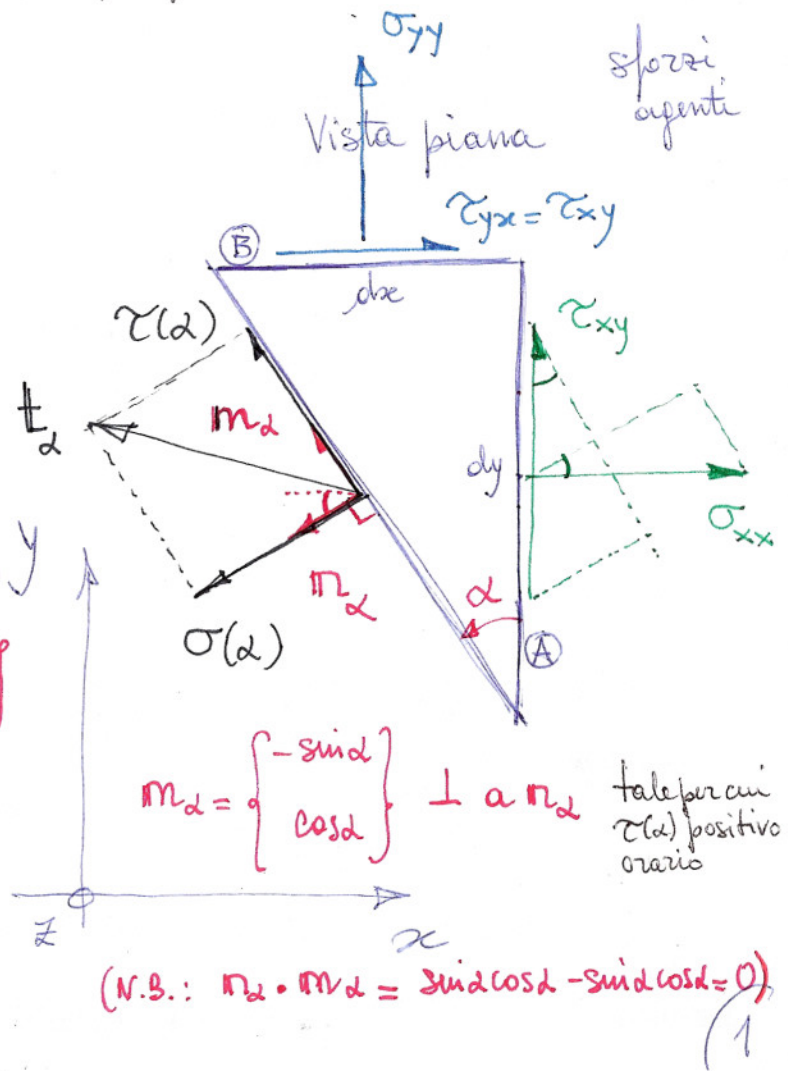
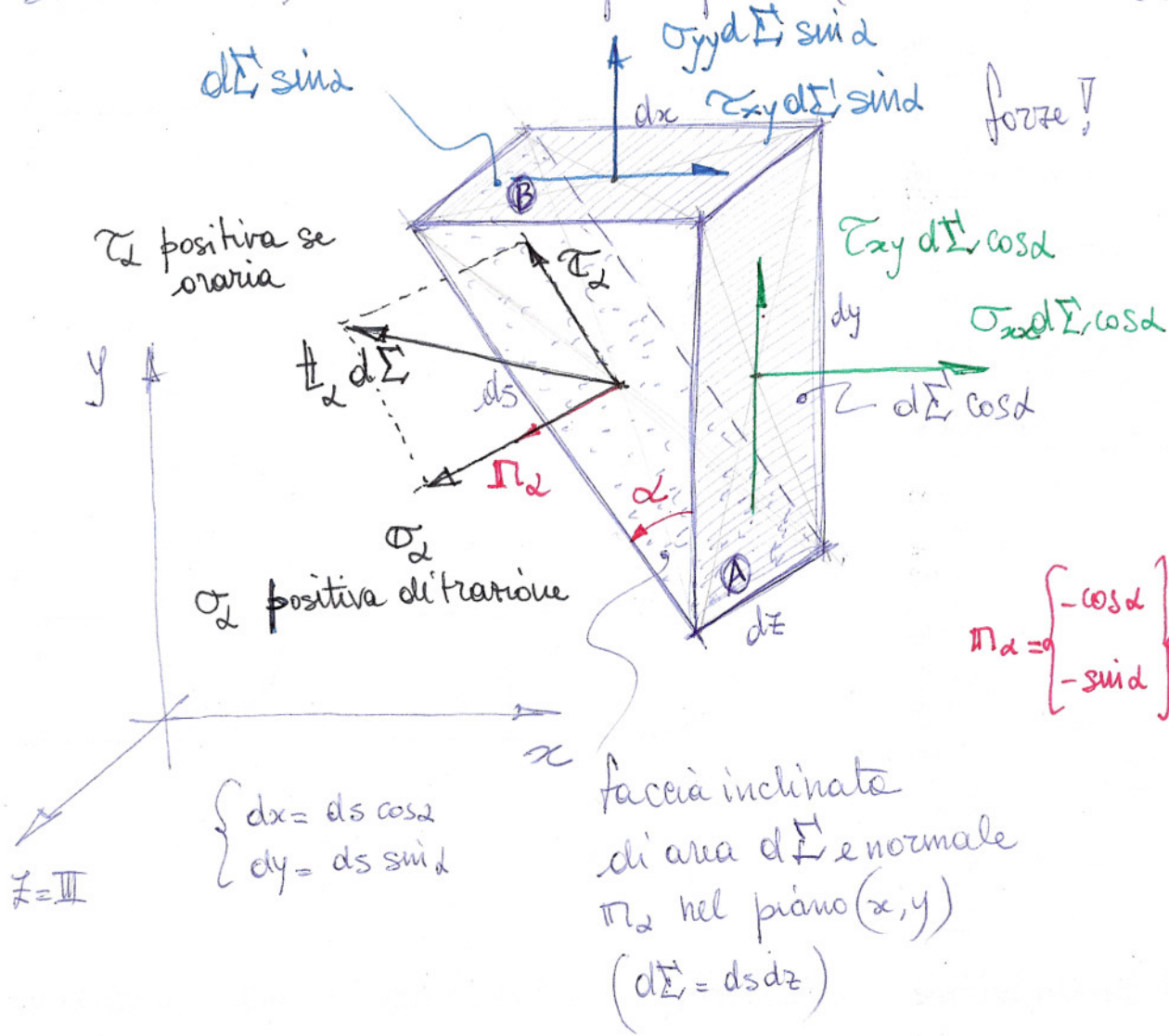


Cerchio di (Culmann) - Mohr
 [1866] [1882]

Si tratta di una rappresentazione grafica delle componenti di sforzo normale e tangenziale agenti su faccia di pendenza arbitraria nel piano, in presenza di stato di sforzo piano.
 Si consideri uno stato di sforzo piano (ad es. con $\sigma_{zz} = \tau_{zx} = \tau_{zy} = 0$ e z è direz. principale)



• Equilibrio alla traslazione nelle direzioni n_x e n_y : (valide in sede indefinita, $\forall d\Sigma$)

$$\begin{cases} \sigma(\alpha) d\Sigma = \sigma_{xx} d\Sigma \cos\alpha \cos\alpha + \sigma_{yy} d\Sigma \sin\alpha \sin\alpha + \tau_{xy} d\Sigma \cos\alpha \sin\alpha + \tau_{xy} d\Sigma \sin\alpha \cos\alpha \\ \tau(\alpha) d\Sigma = \sigma_{xx} d\Sigma \cos\alpha \sin\alpha - \sigma_{yy} d\Sigma \sin\alpha \cos\alpha - \tau_{xy} d\Sigma \cos\alpha \cos\alpha + \tau_{xy} d\Sigma \sin\alpha \sin\alpha \end{cases}$$

$\forall d\Sigma$:

$$\begin{cases} \sigma(\alpha) = \sigma_{xx} \cos^2\alpha + \sigma_{yy} \sin^2\alpha + \tau_{xy} 2 \sin\alpha \cos\alpha \\ \tau(\alpha) = \frac{\sigma_{xx} - \sigma_{yy}}{2} \sin 2\alpha - \tau_{xy} \cos 2\alpha \end{cases}$$

• Ricorda le relazioni trigonometriche:

$$\begin{cases} \sin 2\alpha = 2 \sin\alpha \cos\alpha \\ \cos 2\alpha = \cos^2\alpha - \sin^2\alpha \end{cases} = \begin{cases} = 1 - 2 \sin^2\alpha \\ = -1 + 2 \cos^2\alpha \end{cases} \Rightarrow \begin{cases} \sin^2\alpha = \frac{1 - \cos 2\alpha}{2} & [\alpha = \frac{\pi}{2} \rightarrow \frac{1 - (-1)}{2} = 1, \text{ok}] \\ \cos^2\alpha = \frac{1 + \cos 2\alpha}{2} & [\alpha = \frac{\pi}{2} \rightarrow \frac{1 + (-1)}{2} = 0, \text{ok}] \end{cases}$$

$$\frac{\sin^2\alpha + \cos^2\alpha}{1} = \frac{\frac{1 - \cos 2\alpha}{2} + \frac{1 + \cos 2\alpha}{2}}{1} = \frac{1 - \cos 2\alpha + 1 + \cos 2\alpha}{2} = \frac{2}{2} = 1 \quad \text{ok}$$

• Sostituendo si ottengono le leggi di variazione delle componenti σ e τ (in funzione dell'angolo 2α):

$$\begin{cases} \sigma(\alpha) = \frac{\sigma_{xx} + \sigma_{yy}}{2} + \frac{\sigma_{xx} - \sigma_{yy}}{2} \cos 2\alpha + \tau_{xy} \sin 2\alpha \\ \tau(\alpha) = \frac{\sigma_{xx} - \sigma_{yy}}{2} \sin 2\alpha - \tau_{xy} \cos 2\alpha \end{cases}$$

Si tratta delle equazioni parametriche di una circonferenza di

centro $C = \left(\sigma_c = \frac{\sigma_{xx} + \sigma_{yy}}{2}, 0 \right)$

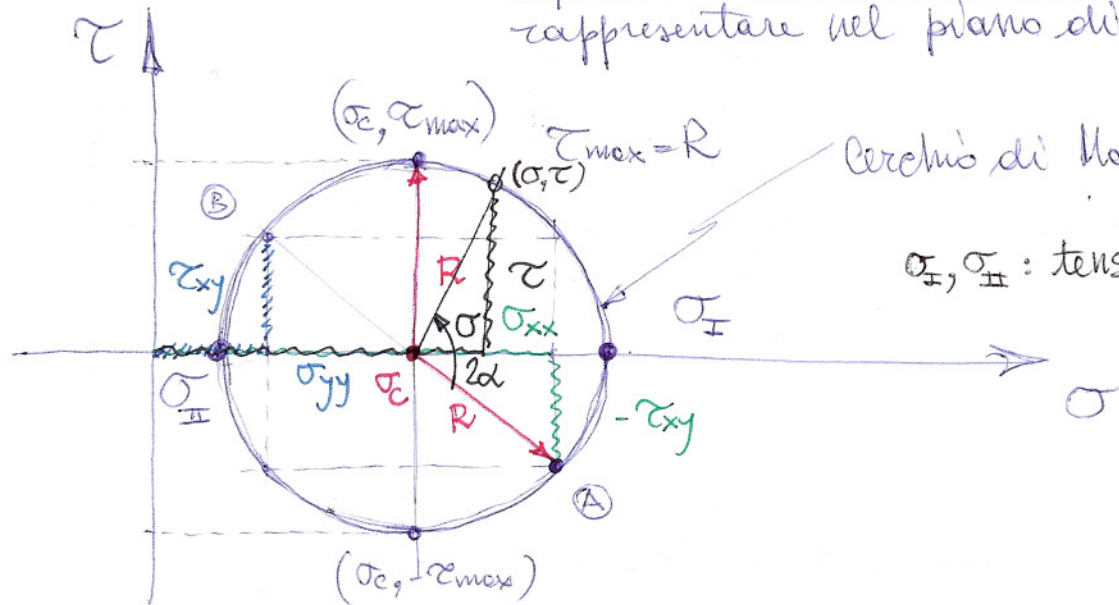
raggio $R = \sqrt{\left(\frac{\sigma_{xx} - \sigma_{yy}}{2}\right)^2 + \tau_{xy}^2}$

Infatti

$$\begin{aligned} \left(\sigma - \frac{\sigma_{xx} + \sigma_{yy}}{2} \right)^2 + \tau^2 &= \left(\frac{\sigma_{xx} - \sigma_{yy}}{2} \right)^2 \cos^2 2d + \tau_{xy}^2 \sin^2 2d + \cancel{(\sigma_{xx} - \sigma_{yy}) \sin 2d \cos 2d} + \\ &\quad \left(\frac{\sigma_{xx} - \sigma_{yy}}{2} \right)^2 \sin^2 2d + \tau_{xy}^2 \cos^2 2d - \cancel{(\sigma_{xx} - \sigma_{yy}) \sin 2d \cos 2d} = \\ &= \left(\frac{\sigma_{xx} - \sigma_{yy}}{2} \right)^2 + \tau_{xy}^2 \end{aligned}$$

$(\sigma - \sigma_c)^2 + \tau^2 = R^2$ Eq. del cerchio di Mohr, che possiamo rappresentare nel piano di Mohr (σ, τ) :

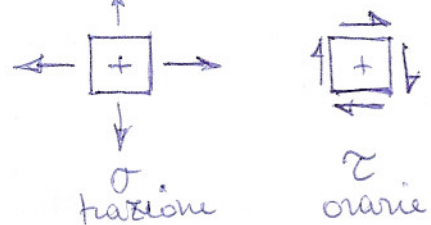
PIANO DI MOHR



Cerchio di Mohr

σ_I, σ_{II} : tensioni principali nel piano

Convenzioni



- Derivazione alternativa sfruttando la relazione di Cauchy (che avevamo già ricavato imponendo l'equilibrio alle traslazioni):

$$\underline{t}_n = t_1 n_1 + t_2 n_2 + t_3 n_3 \rightarrow 0 \quad (\text{in quanto } n_x \perp (x, y))$$

$$\left. \begin{array}{l} n = n_x \\ n_1 = -\cos \alpha \\ n_2 = -\sin \alpha \end{array} \right\} \quad \left. \begin{array}{l} m = m_x \\ m_1 = -\sin \alpha \\ m_2 = \cos \alpha \end{array} \right\}$$

$$\sigma = \underline{t}_n \cdot n = (t_1 \cdot n) n_1 + (t_2 \cdot n) n_2$$

$$t_1 = \left\{ \begin{array}{l} \sigma_{xx} \\ \tau_{xy} \\ \tau_{xz} (=0) \end{array} \right\}, \quad t_2 = \left\{ \begin{array}{l} \tau_{yx} \\ \sigma_{yy} \\ \tau_{yz} (=0) \end{array} \right\}$$

$$= [\sigma_{xx}(-\cos \alpha) + \tau_{xy}(-\sin \alpha)] (-\cos \alpha) +$$

$$+ [\tau_{xy}(-\cos \alpha) + \sigma_{yy}(-\sin \alpha)] (-\sin \alpha)$$

$$= \sigma_{xx} \cos^2 \alpha + \tau_{xy} \sin \alpha \cos \alpha + \tau_{xy} \sin \alpha \cos \alpha + \sigma_{yy} \sin^2 \alpha$$

$$= \sigma_{xx} \cos^2 \alpha + \sigma_{yy} \sin^2 \alpha + \tau_{xy} 2 \sin \alpha \cos \alpha \quad \underline{\text{Ok}}$$

$$\tau = \underline{t}_n \cdot m = (t_1 \cdot m) n_1 + (t_2 \cdot m) n_2$$

$$= [\sigma_{xx}(-\sin \alpha) + \tau_{xy} \cos \alpha] (-\cos \alpha) +$$

$$+ [\tau_{xy}(-\sin \alpha) + \sigma_{yy} \cos \alpha] (-\sin \alpha)$$

$$= \sigma_{xx} \sin \alpha \cos \alpha - \tau_{xy} \cos^2 \alpha + \tau_{xy} \sin^2 \alpha - \sigma_{yy} \sin \alpha \cos \alpha$$

$$= \frac{(\sigma_{xx} - \sigma_{yy})}{2} 2 \sin \alpha \cos \alpha - \tau_{xy} (\cos^2 \alpha - \sin^2 \alpha) \quad \underline{\text{etc}}$$

Osservazioni

- I punti A e B, rappresentativi di stati di sforzo agenti su facce mutuamente \perp risultano diametralmente opposti sul cerchio di Mohr.

Infatti, se tra le due facce visono 90° , l'angolo al centro σ corrispondente dei punti A e B deve risultare il doppio, cioè 180° .

- le tensioni principali σ_I, σ_{II} rappresentano i valori max e min della componente normale σ al variare di tutte le giaciture nel piano.

Risulta:

$$\begin{aligned}\sigma_{I,II} &= \sigma_c \pm R \\ &= \frac{\sigma_{xx} + \sigma_{yy}}{2} \pm \sqrt{\left(\frac{\sigma_{xx} - \sigma_{yy}}{2}\right)^2 + \tau_{xy}^2}\end{aligned}$$

formula per calcolare le tensioni principali nel caso di sforzo piano (la terza tensione principale è nulla, $\sigma_{III} = 0$)

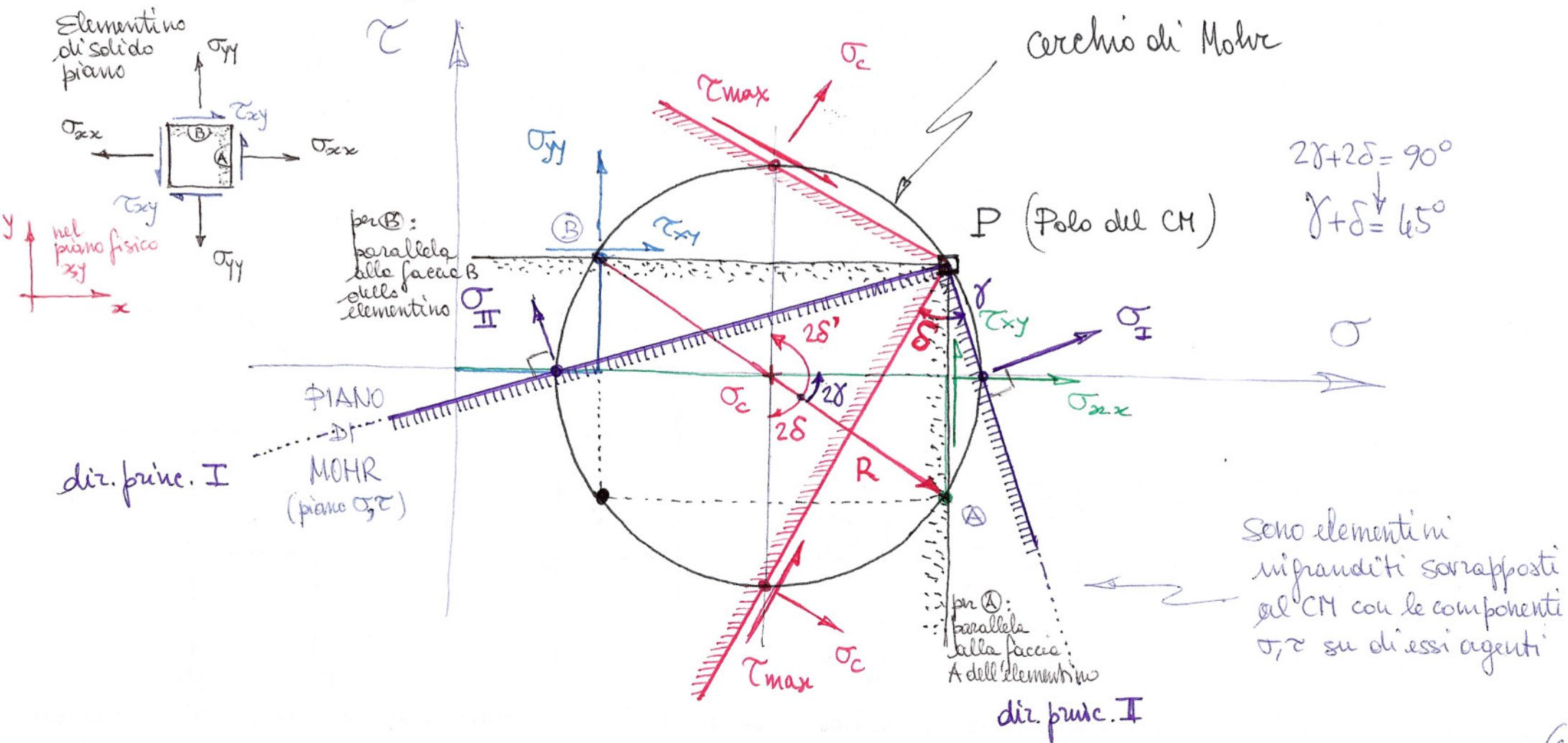
- la τ_{max} nel piano si registra σ corrispondente di σ_c e vale:

$$\tau_{max} = R = \sqrt{\left(\frac{\sigma_{xx} - \sigma_{yy}}{2}\right)^2 + \tau_{xy}^2}$$

- Rotazioni α nel piano fisico sono espresse da rotazioni 2α nel piano di Mohr. Esse si rappresentano convenientemente usando il cosiddetto Polo del Cerchio di Mohr.

Polo del Cerchio di Mohr

- Ha la seguente proprietà: la retta passante per esso (P) e il p.to (σ, τ) rappresenta la direzione della faccia su cui agisce lo sforzo (σ, τ) , o meglio le componenti di sforzo (σ, τ) [lo stato di sforzo dato è unico! Variano le sue componenti al variare della pendenza della faccia nel piano].



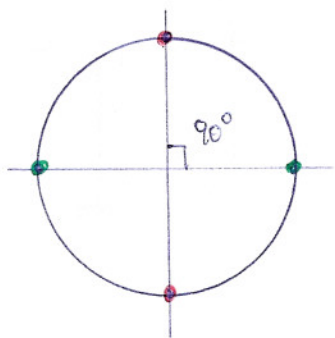
Commenti:

- Il Polo del cerchio di Mohr consente di rappresentare ^{graficamente} agevolmente le direzioni principali secondo le quali agiscono le tensioni principali σ_I e σ_{II} , nonché le direzioni secondo cui agisce la τ_{max} nel piano (x, y) (insieme allo sforzo normale medio $\sigma_c = \frac{\sigma_{xx} + \sigma_{yy}}{2}$).
- Inclinazione delle direzioni principali: (rispetto al sistema di riferimento x, y)

$$\tan 2\delta = \frac{\tau_{xy}}{\frac{\sigma_{xx} - \sigma_{yy}}{2}} = \frac{2\tau_{xy}}{\sigma_{xx} - \sigma_{yy}} \quad (\text{ove } \tau = 0)$$

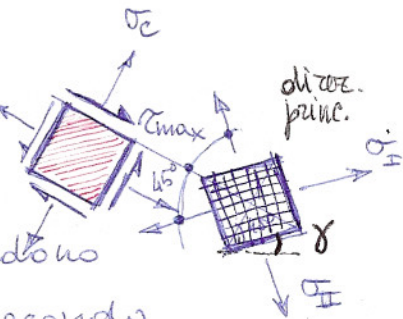
$$\Rightarrow \delta = \frac{1}{2} \arctan \frac{2\tau_{xy}}{\sigma_{xx} - \sigma_{yy}}$$

- Inclinazione delle direzioni secondo cui agisce la τ_{max} :
sono sempre a 45° rispetto alle direzioni principali: $\delta + \delta' = 45^\circ$



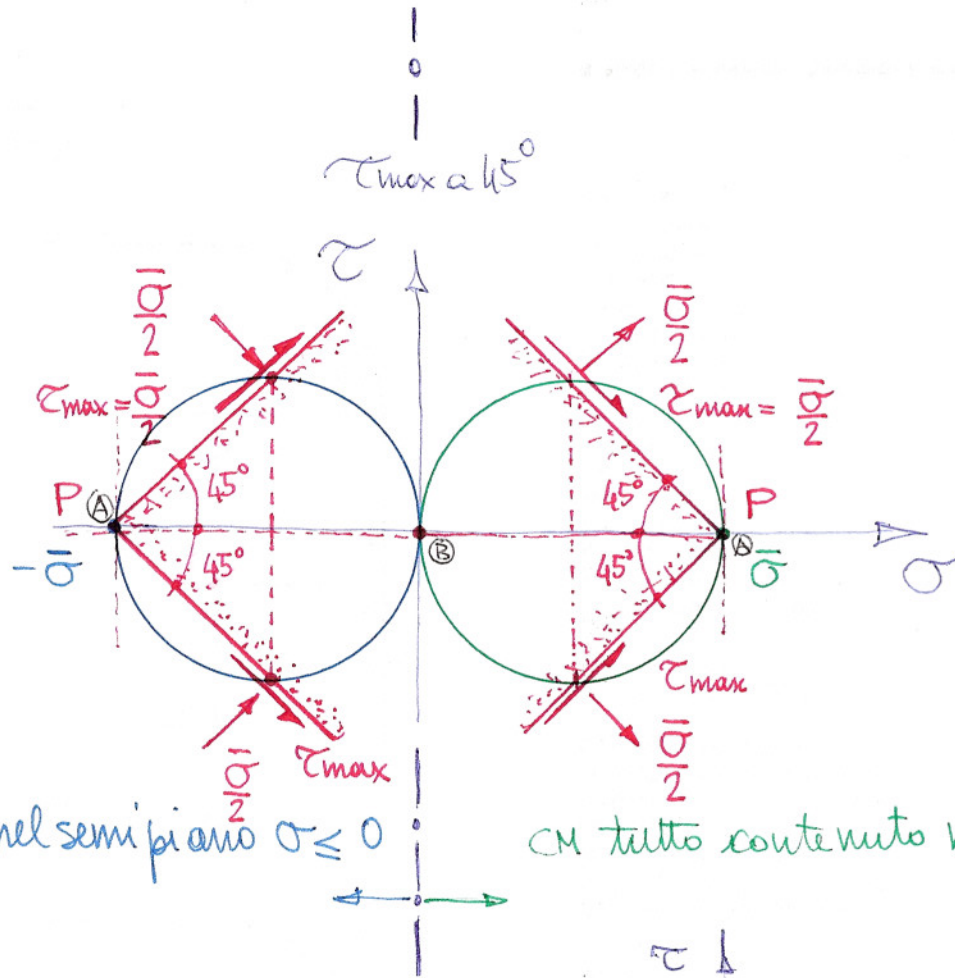
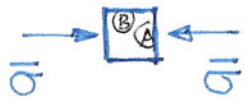
$$\tan 2\delta' = \frac{2\tau_{xy}}{\sigma_{xx} - \sigma_{yy}} = -\frac{1}{\tan 2\delta} \quad \left(2\delta' = 2\delta + \frac{\pi}{2}\right)$$

90° nel piano di Mohr (doppio dell'angolo fisico), corrispondono a 45° nel piano fisico [tra le diret. principali e quelle secondo cui agisce la τ_{max}].



Casi tipici

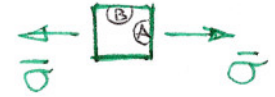
- Sforzo di pura compressione



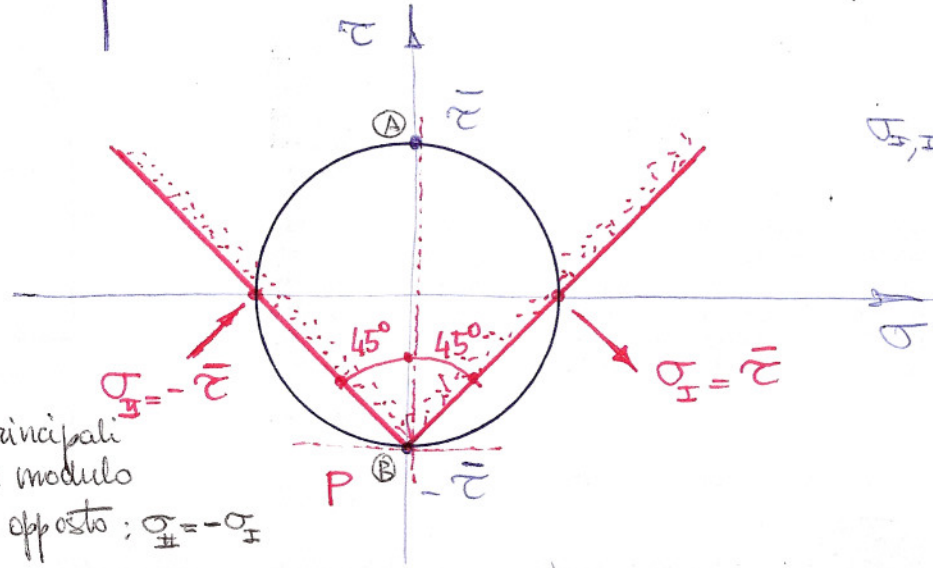
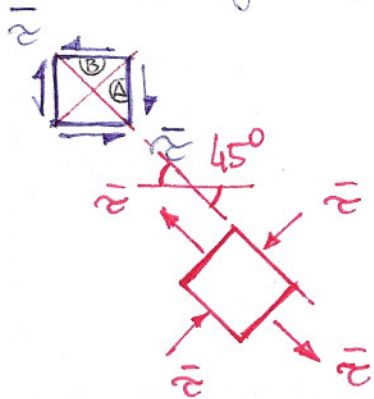
CM tutto contenuto nel semipiano $\sigma \leq 0$

CM tutto contenuto nel semipiano $\sigma \geq 0$

- Sforzo di pura trazione



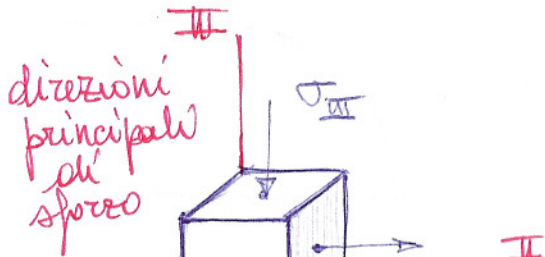
- Sforzo di taglio puro



tensioni principali
 uguali in modulo
 e di segno opposto; $\sigma_H = -\sigma_H$

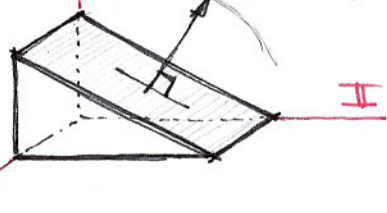
σ_H a 45°

Spazio 3D \Rightarrow Cerchi e arbelo di Mohr

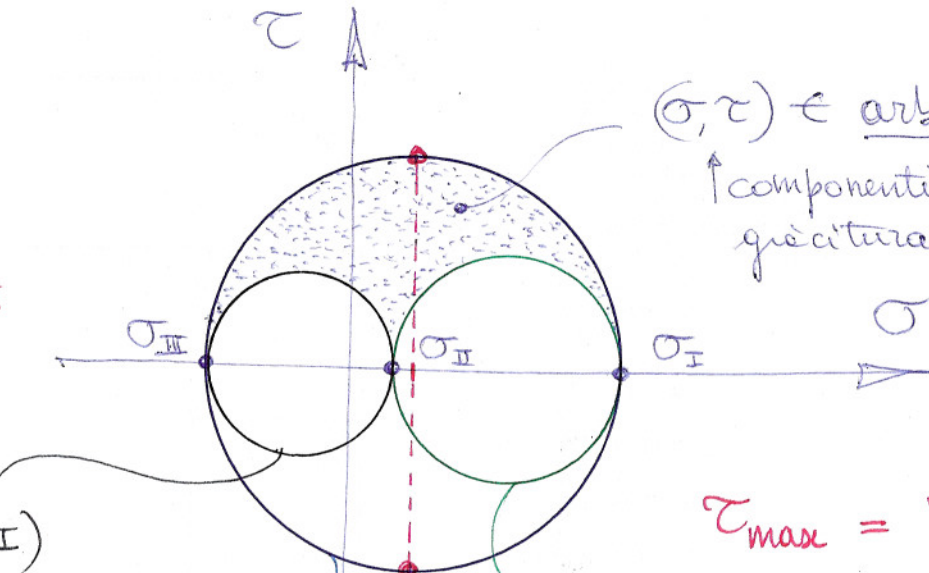


tensioni principali

$n \in (I, III)$



quadrature con normali parallele al piano (II, III)

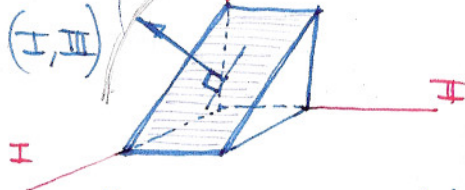


$(\sigma, \tau) \in$ arbelo di Mohr

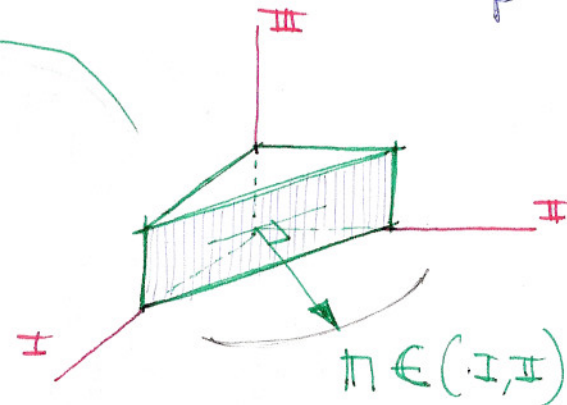
\uparrow componenti σ e τ su qualsiasi quadratura nello spazio

$\tau_{max} = R_{max}$ (τ_{max} letta sul CM più grande)

$n \in (I, II)$



quadrature con normali parallele al piano (I, III)



quadrature con normali parallele al piano (I, II)

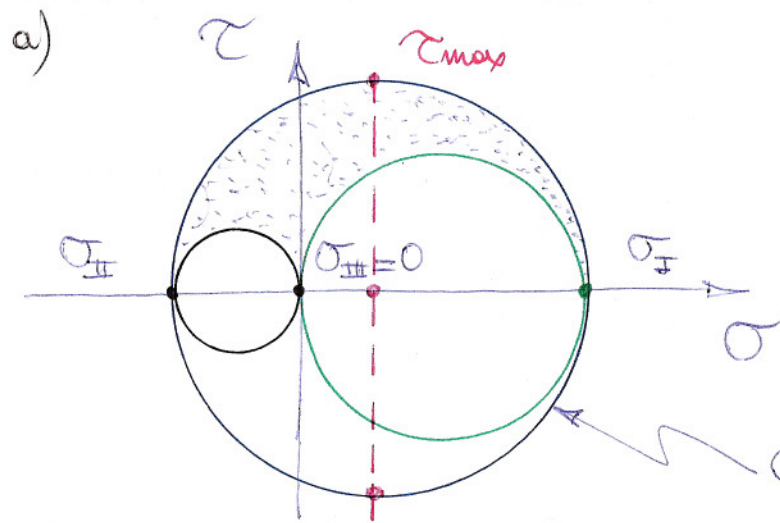
Per n generica nello spazio il punto (σ, τ) descrive l'area compresa tra le tre circonferenze (ove $\tau \geq 0$), detta arbelo di Mohr.

τ intrinsecamente positiva in 3D (non è possibile assegnarle un segno come fatto nel caso piano)

$$\tau_n^2 = t_n^2 - \sigma_n^2 \rightarrow \text{è nota in modulo}$$

- Si è notato che la τ_{max} si registra in corrispondenza del cerchio di Mohr più grande -

- Nel caso di sforzo piano ($\sigma_{III} = 0$) - Attenzione: due casi,

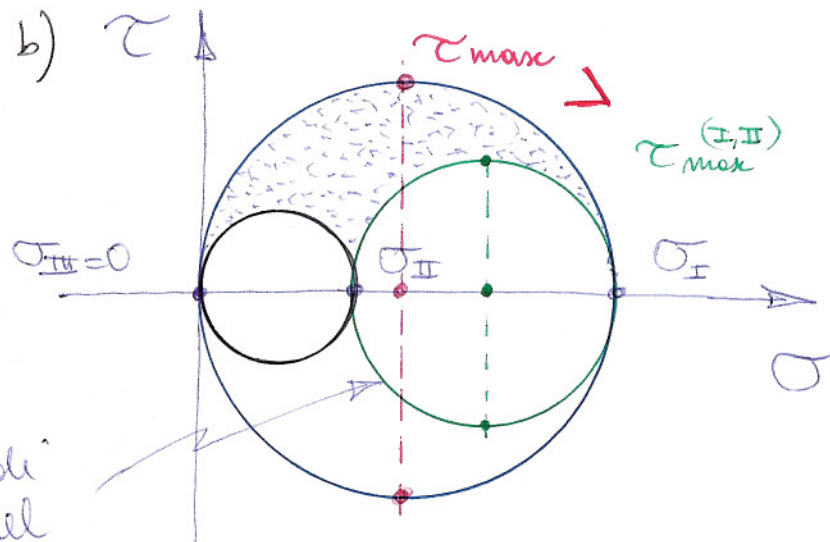


Se $\sigma_I \cdot \sigma_{II} \leq 0$

τ_{max} nel piano (I, II)

(Tensioni principali di segno opposto)

Cerchio di Mohr nel piano



se $\sigma_I \cdot \sigma_{II} \geq 0$

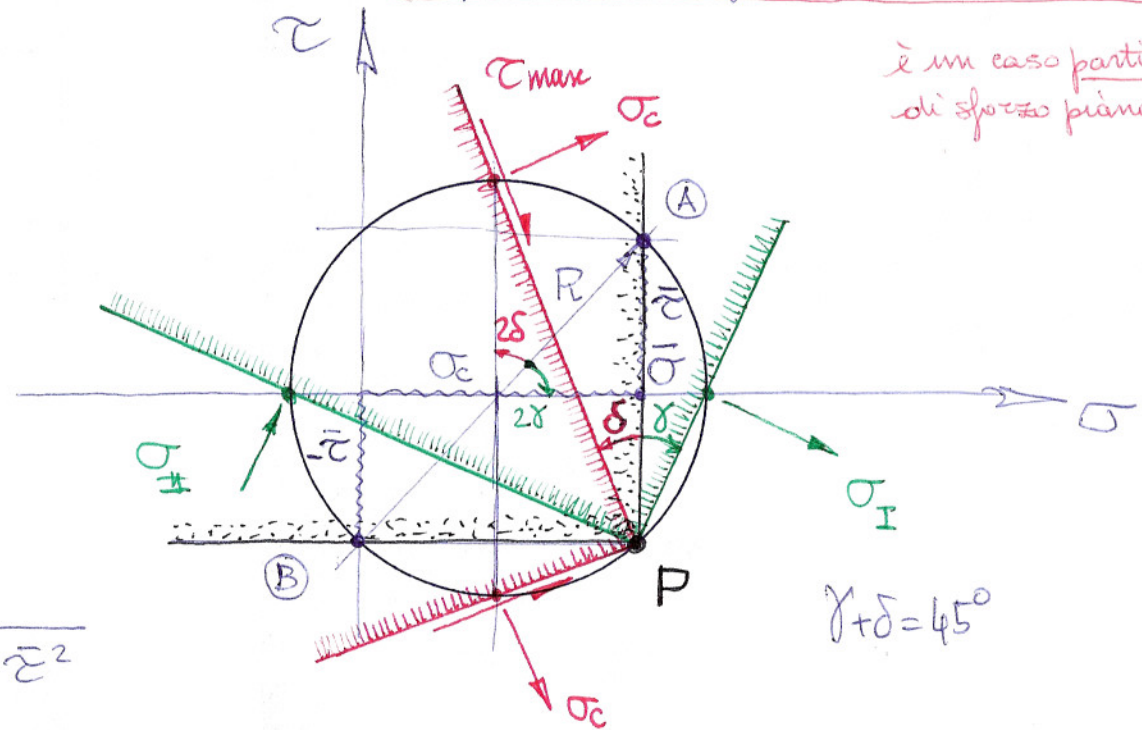
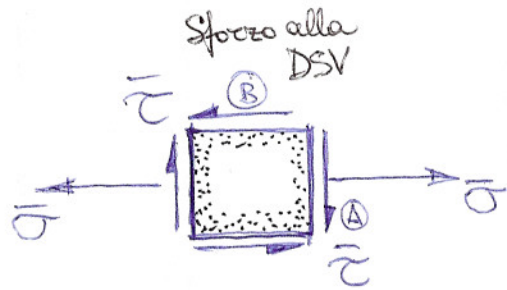
τ_{max} fuori piano (I, II)

(Tensioni principali di segno uguale)

In questi casi la $\tau_{max}^{(I,II)}$ nel piano non è quella massima

Cerchio di Mohr per stato di sforzo (piano) alle De Saint Venant
 (presenti nel solido del pb. di De Saint Venant).

È sforzo piano caratterizzato dall'aver una componente di sforzo normale nulla.



è un caso particolare di sforzo piano

$$\gamma + \delta = 45^\circ$$

$$\sigma_c = \frac{\sigma_{xx} + \sigma_{yy}}{2} = \frac{\bar{\sigma}}{2}$$

$$R = \sqrt{\left(\frac{\sigma_{xx} - \sigma_{yy}}{2}\right)^2 + \tau_{xy}^2} = \sqrt{\frac{\bar{\sigma}^2}{4} + \bar{\tau}^2}$$

$$\sigma_{I,II} = \sigma_c \pm R = \frac{\bar{\sigma}}{2} \pm \sqrt{\frac{\bar{\sigma}^2}{4} + \bar{\tau}^2}$$

$$\tan 2\delta = \frac{2\tau}{\sigma} \Rightarrow \delta = \frac{1}{2} \arctan \frac{2\tau}{\sigma}$$

$$\delta = \frac{\pi}{4} - \gamma$$

Nota che, sempre, $\sigma_I \cdot \sigma_{II} \leq 0$
 (tensioni principali sempre di segno opposto).

$$\text{Infatti: } \sigma_I \cdot \sigma_{II} = \sigma_c^2 - R^2 = \frac{\bar{\sigma}^2}{4} - \left(\frac{\bar{\sigma}^2}{4} + \bar{\tau}^2\right) \leq 0$$